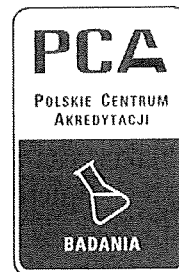
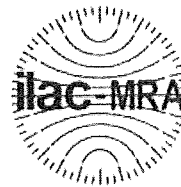




Laboratorium EMVO Sp. J. Urbański, Pawełak
ul. Jasna 1
00-013 Warszawa

tel. +48 22 780 29 64
e-mail: laboratorium@emvo.pl



AB 1630

Sprawozdanie z pomiarów pól elektromagnetycznych - środowisko ogólne nr 43/07/OŚ/2022- P4-W



Nr i nazwa stacji	KIE1026F	
Adres	Kielce, Zakładowa 4, pow. Kielce, woj. świętokrzyskie	
Opracowanie	Martyna Karczmarczyk	Specjalista ds. pomiarów
Autoryzacja	Andrzej Urbański	Kierownik Laboratorium
Podpis	Signature Not Verified Dokument podpisany przez Andrzej Urbański Data: 2022.07.15 07:04:43 CEST Powód: Zatwierdzam dokument	
Data	2022-07-12	

Spis treści

1. Informacje ogólne.....	3
2. Podstawa prawna.	3
3. Opis pomiarów.....	4
4. Zróżnicowanie dopuszczalne poziomy pól elektromagnetycznych.	5
5. Charakterystyka źródeł PEM.....	5
6. Wyniki pomiarów.....	5
7. Stwierdzenie zgodności	7
8. Oświadczenie.....	9
9. Spis załączników.	9

1. Informacje ogólne.

Zleceniodawca	P4 sp. z o.o., ul. Wynałazek 1, 02-677 Warszawa osoba udzielająca informacji- Monika Bierozą
Istotne informacje dostarczone przez klienta	komplet informacji niezbędnych do wykonania pomiarów i opracowania sprawozdania
Dane otrzymane od klienta mogące mieć wpływ na ważność wyników	Dane anten sektorowych, dane anten radioliniowych, parametry pracy instalacji, ustawienie pochylenia anten
Prowadzący instalację	P4 sp. z o.o., ul. Wynałazek 1, 02-677 Warszawa
Lokalizacja obiektu	Kielce, Zakładowa 4, pow. Kielce, woj. świętokrzyskie
Miejsce instalacji anten	Dach budynku
Miejsce instalacji urządzeń	Outdoor
Osoby wykonujące pomiar	Jarosław Buzala
Data wykonania pomiaru	12.07.2022
Temperatura na początku pomiaru [°C]	20,5
Temperatura na koniec pomiaru [°C]	20,0
Warunki atmosferyczne	Brak opadów
Wilgotność na początku pomiaru [%]	70,0
Wilgotność na koniec pomiaru [%]	70,0
Godzina na początku pomiaru	17:30
Godzina na koniec pomiaru	19:07
Inne źródła pól elektromagnetycznych oznaczone na załączniku graficznym	Nie występują
Parametry pracy instalacji	Tryb eksploatacyjny

2. Podstawa prawna.

2.1 Normy i rozporządzenia:

- Rozporządzeniem Ministra Klimatu z dnia 17 lutego 2020 r. w sprawie sposobów sprawdzania dotrzymania dopuszczalnych poziomów pól elektromagnetycznych w środowisku (Dz.U. 2020 poz. 258)
- Rozporządzenie Ministra Zdrowia z dnia 17 grudnia 2019 r. w sprawie dopuszczalnych poziomów pól elektromagnetycznych w środowisku (Dz.U. 2019 poz. 2448)
- Obwieszczenie Marszałka Sejmu Rzeczypospolitej Polskiej z dnia 19 lipca 2019 r. w sprawie ogłoszenia jednolitego tekstu ustawy - Prawo ochrony środowiska (Dz.U. 2019 poz. 1396)
- Rozporządzenie Ministra Klimatu i Środowiska z dnia 6 maja 2022 r. zmieniające rozporządzenie w sprawie sposobów sprawdzania dotrzymywania dopuszczalnych poziomów pól elektromagnetycznych w środowisku (Dz.U. 2022 poz. 1121).

„Bez pisemnej zgody Laboratorium niniejsze sprawozdanie nie może być powielane inaczej, jak tylko w całości. Ponadto wyniki dotyczą tylko badanych obiektów przywołanych w niniejszym sprawozdaniu z badań”

3. Opis pomiarów

Metodologia pomiarowa	Pomiary w oparciu o Rozporządzeniem Ministra Klimatu z dnia 17 lutego 2020 r. w sprawie sposobów sprawdzania dotrzymania dopuszczalnych poziomów pól elektromagnetycznych w środowisku (Dz.U. 2020 poz. 258) oraz Rozporządzenie Ministra Klimatu i Środowiska z dnia 6 maja 2022 r. zmieniające rozporządzenie w sprawie sposobów sprawdzania dotrzymywania dopuszczalnych poziomów pól elektromagnetycznych w środowisku (Dz.U. 2022 poz. 1121).
Cel badań	Określenie wartości natężenia pola elektrycznego w miejscach dostępnych dla ludności.
Opis zestawu pomiarowego	Miernik Narda NBM 520, Sonda EF 9091, o zakresie pomiarowym 0,7 V/m - 300V/m pracująca w paśmie 0,1 – 90 GHz, świadectwo wydane przez Laboratorium Wzorców i Metrologii Pola Elektromagnetycznego, Instytut Telekomunikacji, Teleinformatyki i Akustyki Politechniki Wrocławskiej. Świadectwo ważne do 07.07.2023. Miernik Narda NBM 520, Sonda EF 9091 pracująca w zakresie temperatury -10°C - +50°C oraz wilgotności 5% - 95%. Niepewność rozszerzona wynosi 57% przy poziomie ufności 95% z uwzględnieniem współczynnika rozszerzenia k=2.
Wypożyczenie pomocnicze	Termohigrometr Termoprodukt, typ: Termik+, nr identyfikacyjny 700618, świadectwo wzorcowania nr 1763/AH/19 z dn. 29.07.2019 r. wydane przez Laboratorium Pomiarowe "MUTECH". Przymiar wstępowy STABILA, nr identyfikacyjny 31WL, świadectwo wzorcowania nr 6W1/1826/19 z dn. 02.08.2019 r. wydane przez Dyrektora Okręgowego Urzędu Miar w Gdańsku. GPS Garmin 64s okresowo sprawdzany w punktach osnowy geodezyjnej klasy 3 na podstawie licencji punktu, zgodnie z procedurą sprawdzeń okresowych IS/PO16-11/03.
Pomiary zostały wykonane	<ol style="list-style-type: none">1. na głównych i pomocniczych kierunkach pomiarowych, na kierunkach zbliżonych do azymutów anten oraz w dodatkowych pionach pomiarowych zgodnie z wymaganiami pkt 12, 13, 14 i 19 Rozporządzenia Ministra Klimatu z dnia 17 lutego 2020 r. (Dz. U. 2020, poz. 258) oraz Rozporządzenia Ministra Klimatu i Środowiska z dnia 6 maja 2022 r. zmieniającego rozporządzenie w sprawie sposobów sprawdzania dotrzymywania dopuszczalnych poziomów pól elektromagnetycznych w środowisku (Dz.U. 2022 poz. 1121).2. na obszarze pomiarowym, dla którego, na podstawie uprzednio przeprowadzonych obliczeń stwierdzono w miejscach dostępnych dla ludności występowanie pól elektromagnetycznych o najwyższym poziomie, które pochodzą z badanej instalacji zgodnie z wymaganiami pkt 5 ppkt 2 oraz pkt 13 ppkt 1 Rozporządzenia Ministra Klimatu z dnia 17 lutego 2020 r. w sprawie sposobów sprawdzania dotrzymania dopuszczalnych poziomów pól elektromagnetycznych w środowisku (Dz. U. 2020, poz. 258) oraz Rozporządzenia Ministra Klimatu i Środowiska z dnia 6 maja 2022 r. zmieniającego rozporządzenie w sprawie sposobów sprawdzania dotrzymywania dopuszczalnych poziomów pól elektromagnetycznych w środowisku (Dz.U. 2022 poz. 1121). Wyniki obliczeń nie uwzględniały parametrów pracy instalacji innych operatorów występujących na obiekcie bądź w obszarze pomiarowym.3. w miejscach dostępnych dla ludności.4. miejsca niedostępne podczas wykonywania pomiarów wskazane zostały w pkt 6 (tabeli wyniki pomiarów).

Szczególne warunki podczas Pomiarów wykonane zostały podczas obowiązywania w kraju stanu zagrożenia

„Bez pisemnej zgody Laboratorium niniejsze sprawozdanie nie może być powielane inaczej, jak tylko w całości. Ponadto wyniki dotyczą tylko badanych obiektów przywołanych w niniejszym sprawozdaniu z badań”

wykonywanie pomiarów

epidemicznego, zgodnie z art. 122a ust. 1b Ustawy z dnia 27 kwietnia 2001 r. – Prawo ochrony środowiska (Dz. U. z 2019 r. poz. 1396, z późn. zm.9)).

Warunki pracy urządzeń nadawczych

Tryb pracy eksploatacyjny.

4. Zróżnicowanie dopuszczalne poziomy pól elektromagnetycznych.

Zakresy znajdują się w Dzienniku Ustaw z dnia 17 grudnia 2019 r. przedstawione są w tabeli nr 2 (Dz. U. z 2019r. poz. 2448).

Parametr fizyczny Zakres Częstotliwości pola elektromagnetycznego	Składowa elektryczna E (V/m)	Składowa magnetyczna H (A/m)	Gęstość mocy S (W/m ²)
od 400 MHz do 2000 MHz	$1,375 \times f^{0,5}$	$0,0037 \times f^{0,5}$	$f / 200$
od 2 GHz do 300 GHz	61	0,16	10

5. Charakterystyka źródeł PEM.

Zgodnie z informacją otrzymaną od Klienta pomiary zostały wykonane przy ustawieniach pochylenia anten zgodnych z pkt. 13, ppkt 2 Rozporządzenia Ministra Klimatu z dnia 17 lutego 2020 roku.

Tabela 1. Anteny sektorowe - dane otrzymane od klienta

Charakterystyka promieniowania		kierunkowa													
Rzeczywisty czas pracy [h/dobę]		24													
Rodzaj wytwarzanego pola		stacjonarne													
L p	Wyszczególnienie	sektor 1							sektor 2						
I	Nadajnik stacji bazowej:														
1	Typ / Producent	RBS / SRAN Ericsson													
2	Częstotliwość (pasmo) MHz	2100	1800	800	2100	1800	900	2600	2100	1800	800	2100	1800	900	2600
3	Maksymalna moc nadawana na sektor [dBm]	50	50	49,03	50	50	49,03	52,04	50	50	49,03	50	50	49,03	52,04
II	Obciążenie:														
1	Typ anteny	Huawei ADU4518R7			Huawei ADU4518R7			Huawei ADU4521R0	Huawei ADU4518R7			Huawei ADU4518R7			Huawei ADU4521R0
2	Producent anteny	Huawei			Huawei			Huawei	Huawei			Huawei			Huawei
3	Ilość anten	1			1			1	1			1			1
4	Azymut	10							130						
5	Zakres kątów pochylenia anten [°]	2-12	2-12	0-12	2-12	2-12	0-12	0-6	2-12	2-12	0-12	2-12	2-12	0-12	0-6
6	Wysokość zainst. n.p.t. [m]	37,80							37,80						
7	EIRP [W]	13502			13624			19734	13502			13624			19734

Charakterystyka promieniowania		kierunkowa							
Rzeczywisty czas pracy [h/dobę]		24							
Rodzaj wytwarzanego pola		stacjonarne							
Lp	Wyszczególnienie	sektor 3						sektor 4	
I	Nadajnik stacji bazowej:								
1	Typ / Producent	RBS / SRAN Ericsson							
2	Częstotliwość (pasmo) MHz	2600	2100	1800	2600	2100	1800	900	800
3	Maksymalna moc nadawana na sektor [dBm]	49,03	50	50	49,03	50	50	49,03	49,03
II	Obciążenie:								
1	Typ anteny	Huawei AMB4519R6		Huawei AMB4519R6		Huawei AMB4519R0			
2	Producent anteny	Huawei		Huawei		Huawei			
3	Ilość anten	1		1		1			
4	Azymut	219						220	
5	Zakres kątów pochylenia anten [°]	2,00-12,00						0,00-10,00	
6	Wysokość zainst. n.p.t. [m]	37,80						37,80	
7	EIRP [W]	18981		18981		9448			

Charakterystyka promieniowania		kierunkowa							
Rzeczywisty czas pracy [h/dobę]		24							
Rodzaj wytwarzanego pola		stacjonarne							
Lp	Wyszczególnienie	sektor 5			sektor 6				
I	Nadajnik stacji bazowej:								
1	Typ / Producent	RBS / SRAN Ericsson							
2	Częstotliwość (pasmo) MHz	900	800	2600	2100	1800	2600	2100	1800
3	Maksymalna moc nadawana na sektor [dBm]	49,03	49,03	49,03	50	50	49,03	50	50
II	Obciążenie:								
1	Typ anteny	Huawei AMB4519R0			Huawei AMB4519R6		Huawei AMB4519R6		
2	Producent anteny	Huawei			Huawei		Huawei		
3	Ilość anten	1			1		1		
4	Azymut	280			281				
5	Zakres kątów pochylenia anten [°]	0,00-10,00			2,00-12,00				
6	Wysokość zainst. n.p.t. [m]	37,80			37,8				
7	EIRP [W]	9448			18981		18981		

Tabela 2. Anteny radioliniowe- dane otrzymane od klienta

Charakterystyka promieniowania				kierunkowa			
Rzeczywisty czas pracy [h/dobę]				24			
Rodzaj wytwarzanego pola				stacjonarne			
Lp	Linia radiowa			Antena			
	typ/producent	częstotliwość pracy [GHz]	moc wyjściowa [dBm]	typ/producent	średnica anteny [m]	azymut [°]	wysokość zainstal. [m]
1	OPTIX RTN/HUAWEI	80	18	VHLP1-80/Andrew	0,3	107	38,40
2	OPTIX RTN/HUAWEI	80	18	VHLP1-80/Andrew	0,3	118	37,10
3	OPTIX RTN/HUAWEI	80	18	VHLP1-80/Andrew	0,3	137	37,10
4	OPTIX RTN/HUAWEI	80	18	VHLP1-80/Andrew	0,3	261	37,00
5	OPTIX RTN/HUAWEI	80	18	VHLP2-80/Andrew	0,6	325	38,15
6	OPTIX RTN/HUAWEI	80	18	VHLP1-80/Andrew	0,3	351	38,80

6. Wyniki pomiarów.

Wyniki pomiarów pól elektromagnetycznych dla celów ochrony środowiska przedstawia poniższa tabela. Piony pomiarowe zostały przedstawione w zał. 2.

Nr PP	Pole-E [V/m]	Pole-E +U [V/m]	Pole-H [A/m]	Pole-H +U [A/m]	Wys. pomiaru [m]	Opis pionu	Uwagi	WM _E	WM _H
1	0,7*	1,26	0,002	0,003	0,3-2,0	N:50°53'58.7" E:20°35'26.2"	otoczenie stacji bazowej - 50m wzdłuż gł. osi promieniowania - GKP	0,045	0,046
2	1,0	1,57	0,003	0,004	0,3-2,0	N:50°54'00.5" E:20°35'26.7"	otoczenie stacji bazowej - 100m wzdłuż gł. osi promieniowania - GKP	0,056	0,057
3	1,1	1,73	0,003	0,005	0,3-2,0	N:50°54'01.9" E:20°35'27.2"	otoczenie stacji bazowej - 150m wzdłuż gł. osi promieniowania - GKP	0,062	0,063
4	1,1	1,73	0,003	0,005	0,3-2,0	N:50°54'03.6" E:20°35'27.7"	otoczenie stacji bazowej - 200m wzdłuż gł. osi promieniowania - GKP	0,062	0,063
5	1,0	1,57	0,003	0,004	0,3-2,0	N:50°54'06.5" E:20°35'28.6"	otoczenie stacji bazowej - 300m wzdłuż gł. osi promieniowania - GKP	0,056	0,057
6	0,9	1,41	0,002	0,004	0,3-2,0	N:50°54'07.9" E:20°35'29.2"	otoczenie stacji bazowej - 350m wzdłuż gł. osi promieniowania - GKP	0,050	0,051
7	0,9	1,41	0,002	0,004	0,3-2,0	N:50°54'08.8" E:20°35'29.4"	otoczenie stacji bazowej - 380m wzdłuż gł. osi promieniowania - GKP	0,050	0,051
8	0,7*	1,26	0,002	0,003	0,3-2,0	N:50°53'55.9" E:20°35'27.6"	otoczenie stacji bazowej - 50m wzdłuż gł. osi promieniowania - GKP	0,045	0,046
9	0,7*	1,26	0,002	0,003	0,3-2,0	N:50°53'55.0" E:20°35'29.7"	otoczenie stacji bazowej - 100m wzdłuż gł. osi promieniowania - GKP	0,045	0,046
10	0,8	1,26	0,002	0,003	0,3-2,0	N:50°53'54.2" E:20°35'31.5"	otoczenie stacji bazowej - 150m wzdłuż gł. osi promieniowania - GKP	0,045	0,046
11	1,0	1,57	0,003	0,004	0,3-2,0	N:50°53'52.8" E:20°35'33.8"	otoczenie stacji bazowej - 200m wzdłuż gł. osi promieniowania - GKP	0,056	0,057
12	1,1	1,73	0,003	0,005	0,3-2,0	N:50°53'51.7" E:20°35'35.9"	otoczenie stacji bazowej - 250m wzdłuż gł. osi promieniowania - GKP	0,062	0,063
13	1,0	1,57	0,003	0,004	0,3-2,0	N:50°53'50.5" E:20°35'37.6"	otoczenie stacji bazowej - 300m wzdłuż gł. osi promieniowania - GKP	0,056	0,057
14	0,8	1,26	0,002	0,003	0,3-2,0	N:50°53'55.6" E:20°35'23.8"	otoczenie stacji bazowej - 50m wzdłuż gł. osi promieniowania - GKP	0,045	0,046
15	0,9	1,41	0,002	0,004	0,3-2,0	N:50°53'54.5" E:20°35'21.8"	otoczenie stacji bazowej - 100m wzdłuż gł. osi promieniowania - GKP	0,050	0,051
16	1,2	1,88	0,003	0,005	0,3-2,0	N:50°53'53.2" E:20°35'20.2"	otoczenie stacji bazowej - 150m wzdłuż gł. osi promieniowania - GKP	0,067	0,068
17	1,1	1,73	0,003	0,005	0,3-2,0	N:50°53'52.1" E:20°35'18.3"	otoczenie stacji bazowej - 200m wzdłuż gł. osi promieniowania - GKP	0,062	0,063
18	1,1	1,73	0,003	0,005	0,3-2,0	N:50°53'50.9" E:20°35'16.6"	otoczenie stacji bazowej - 250m wzdłuż gł. osi promieniowania - GKP	0,062	0,063

19	1,0	1,57	0,003	0,004	0,3-2,0	N:50°53'49.9" E:20°35'15.3"	otoczenie stacji bazowej - 300m wzdłuż gł. osi promieniowania - GKP	0,056	0,057
20	1,2	1,88	0,003	0,005	0,3-2,0	N:50°53'57.4" E:20°35'20.6"	otoczenie stacji bazowej - 100m wzdłuż gł. osi promieniowania - GKP	0,067	0,068
21	1,1	1,73	0,003	0,005	0,3-2,0	N:50°53'57.8" E:20°35'17.8"	otoczenie stacji bazowej - 150m wzdłuż gł. osi promieniowania - GKP	0,062	0,063
22	0,9	1,41	0,002	0,004	0,3-2,0	N:50°53'59.2" E:20°35'08.3"	otoczenie stacji bazowej - 350m wzdłuż gł. osi promieniowania - GKP	0,050	0,051
23	0,9	1,41	0,002	0,004	0,3-2,0	N:50°53'59.5" E:20°35'06.7"	otoczenie stacji bazowej - 380m wzdłuż gł. osi promieniowania - GKP	0,050	0,051
24	0,7*	1,26	0,002	0,003	0,3-2,0	N:50°53'55.9" E:20°35'30.6"	otoczenie stacji bazowej - 100m wzdłuż gł. osi promieniowania - GKP	0,045	0,046
25	0,7*	1,26	0,002	0,003	0,3-2,0	N:50°53'55.2" E:20°35'30.2"	otoczenie stacji bazowej - 100m wzdłuż gł. osi promieniowania - GKP	0,045	0,046
26	0,8	1,26	0,002	0,003	0,3-2,0	N:50°53'56.5" E:20°35'20.6"	otoczenie stacji bazowej - 100m wzdłuż gł. osi promieniowania - GKP	0,045	0,046
27	0,7*	1,26	0,002	0,003	0,3-2,0	N:50°53'59.8" E:20°35'22.9"	otoczenie stacji bazowej - 100m wzdłuż gł. osi promieniowania - GKP	0,045	0,046
28	0,7*	1,26	0,002	0,003	0,3-2,0	N:50°54'01.8" E:20°35'24.8"	otoczenie stacji bazowej - 150m wzdłuż gł. osi promieniowania - GKP	0,045	0,046
29	0,7*	1,26	0,002	0,003	0,3-2,0	N:50°53'59.3" E:20°35'28.5"	otoczenie stacji bazowej - GKP	0,045	0,046
30	0,8	1,26	0,002	0,003	0,3-2,0	N:50°53'57.6" E:20°35'27.9"	otoczenie stacji bazowej - GKP	0,045	0,046
31	0,9	1,41	0,002	0,004	0,3-2,0	N:50°53'55.1" E:20°35'26.4"	otoczenie stacji bazowej - GKP	0,050	0,051
32	0,8	1,26	0,002	0,003	0,3-2,0	N:50°53'55.5" E:20°35'20.8"	otoczenie stacji bazowej - GKP	0,045	0,046
33	0,8	1,26	0,002	0,003	0,3-2,0	N:50°53'58.5" E:20°35'21.7"	otoczenie stacji bazowej - GKP	0,045	0,046
A	0,8	1,26	0,002	0,003	0,3-2,0	N:50°53'47.9" E:20°35'13.0"	Batalionów Chłopskich 144, pomiar przed posesją -DPP	0,045	0,046
B	0,7*	1,26	0,002	0,003	0,3-2,0	N:50°53'47.3" E:20°35'13.8"	Batalionów Chłopskich 142/140, pomiar przed posesją -DPP	0,045	0,046
C	1,1	1,73	0,003	0,005	0,3-2,0	N:50°53'52.9" E:20°35'22.8"	Zakładowa 4, pomiar przed budynkiem -DPP	0,062	0,063
D	0,8	1,26	0,002	0,003	0,3-2,0	N:50°53'49.7" E:20°35'38.5"	Transportowców 15, pomiar przed budynkiem -DPP	0,045	0,046
E	Brak dostępu – budynki przemysłowe								

Wynik pomiaru pole - E [V/m] - maksymalna wartość chwilowa zmierzona w danym pionie pomiarowym (uśredniona na podstawie punktu 11 Rozporządzenia Ministra Zdrowia).

Przyjęto najniższą dopuszczalną wartość składowej elektrycznej pola dla objętego pomiarami zakresu częstotliwości min(MEgr)= 28 V/m oraz składowej magnetycznej min(MHgr)= 0,073 A/m.

* - wartość zmierzona poniżej zakresu akredytacji. Do obliczeń przyjęto wartość zgodną z dolną granicą akredytowanego zakresu pomiarowego metody.

GKP - główne kierunki pomiarowe

PKP - pomocnicze kierunki pomiarowe

DPP - dodatkowe punkty pomiarowe

PP - pion pomiarowy

U - niepewność pomiarowa rozszerzona, przy poziomie ufności 95%, z uwzględnieniem współczynnika rozszerzenia k=2

WM_E - wartość wskaźnikowa poziomu emisji pól elektromagnetycznych dla miejsc dostępnych dla ludności dla składowej elektrycznej pola

WM_H - wartość wskaźnikowa poziomu emisji pól elektromagnetycznych dla miejsc dostępnych dla ludności dla składowej magnetycznej pola

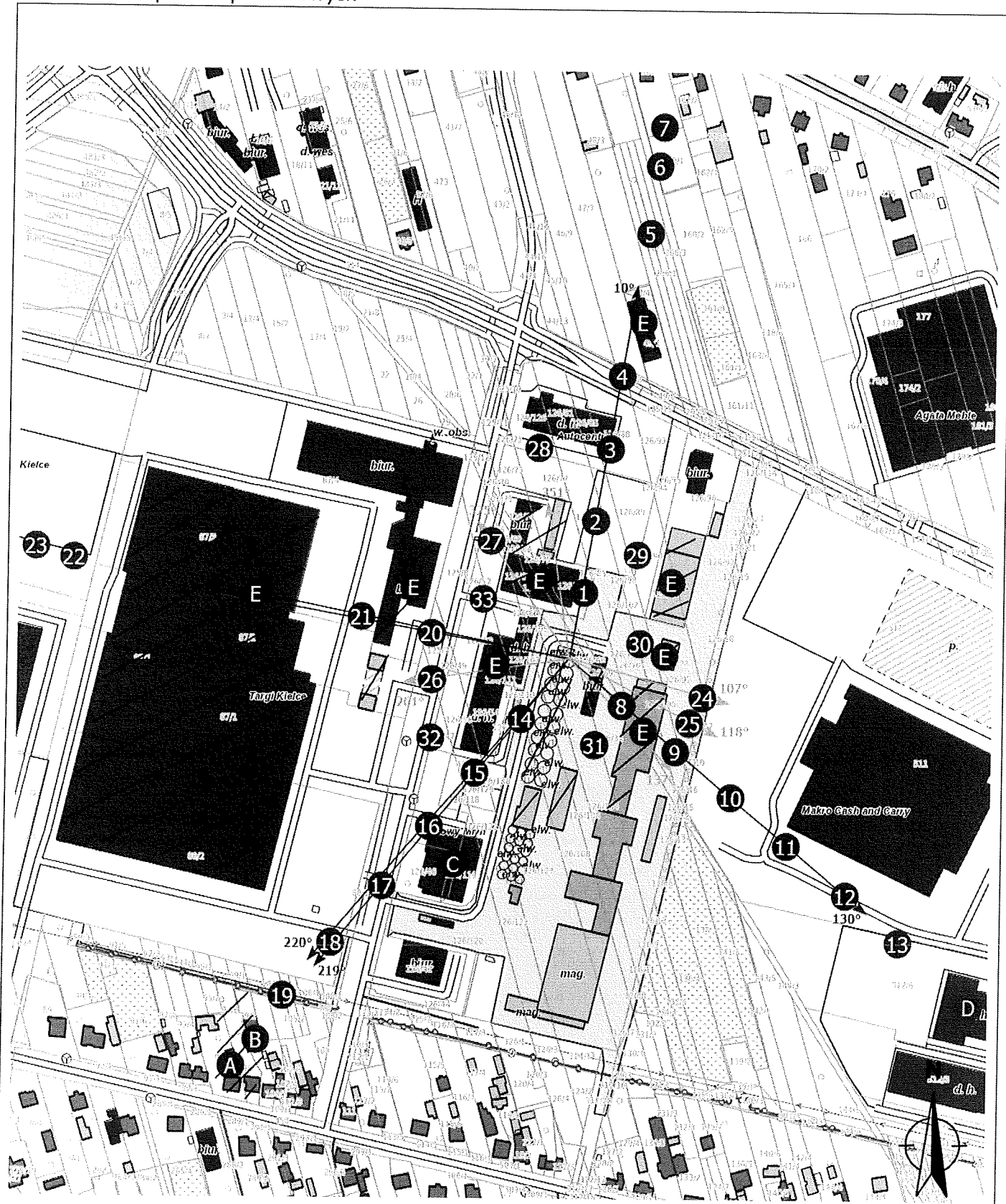
7. Stwierdzenie zgodności

Na podstawie wytycznych podanych w Rozporządzeniu Ministra Zdrowia z dnia 17 grudnia 2019 r. w sprawie dopuszczalnych poziomów pól elektromagnetycznych w środowisku (Dz.U. 2019 poz. 2448) oraz sposobów sprawdzania dotrzymania tych poziomów zgodnie z Rozporządzeniem Ministra Klimatu z dnia 17 lutego 2020 r. w sprawie sposobów sprawdzania dotrzymania dopuszczalnych poziomów pól elektromagnetycznych w środowisku

„Bez pisemnej zgody Laboratorium niniejsze sprawozdanie nie może być powielane inaczej, jak tylko w całości. Ponadto wyniki dotyczą tylko badanych obiektów przywołanych w niniejszym sprawozdaniu z badań”

43/07/OŚ/2022– P4-W

Zał. 2. Widok pionów pomiarowych



LEGENDA:

inna instalacja
radiokomunikacyjna

Odległość, do której zostały wykonane
pomiarzy mierząc od instalacji
antenowej wynosi min.: 378 metrów.

brak dostępu

nr pion pomiaru

antena sektorowa

antena radioliowa

Skala:1:5000

0 50 100m



